

# GRP78 和 Mn - SOD 表达与鼻咽癌组织放疗敏感相关性研究

邓香群 彭 波

**摘要 目的** 研究 GRP78、Mn - SOD mRNA 在放射治疗鼻咽癌中的表达,探讨其在放射治疗鼻咽癌中的意义。**方法** 取 60 例 2006 年 1 月 13 日 ~ 11 月 26 日第 1 次入院放射治疗鼻咽癌,运用原位杂交方法检测放射治疗鼻咽癌中 GRP78 及 Mn - SOD mRNA 的表达。**结果** 在放疗敏感及放疗抗拒鼻咽癌患者中,GRP78 mRNA 中度和强阳性表达率分别为 20.00% 和 47.50%, Mn - SOD mRNA 中度和强阳性表达率分别为 55.00% 和 40.00%, 差异有统计学意义。在放疗抗拒鼻咽癌患者中,GRP78 mRNA 中度和强阳性表达率与 TNM 分期呈正相关,Ⅲ ~ Ⅳ 期 GRP78 mRNA 中度和强阳性表达率为 58.62%, I ~ II 期表达率为 18.18%, 与 T 分期呈正相关,T<sub>3</sub> ~ T<sub>4</sub> 期中表达率为 68.42%, T<sub>1</sub> ~ T<sub>2</sub> 期中表达率为 28.57%; Mn - SOD mRNA 中度和强阳性表达率与 T 分期呈正相关,T<sub>3</sub> ~ T<sub>4</sub> 期中表达率为 63.16%, T<sub>1</sub> ~ T<sub>2</sub> 期中表达率为 19.05%; 在有、无远处转移中,GRP78 mRNA 中度和强阳性表达率分别为 72.73% 和 37.93%, Mn - SOD mRNA 中度和强阳性表达率分别为 81.82% 和 24.14%, 差异有统计学意义( $P < 0.05$ )。**结论** GRP78、Mn - SOD 参与了放疗抗拒鼻咽癌的发展。

**关键词** GRP78 基因 Mn - SOD 基因 放射治疗 鼻咽癌

中图分类号 R739.6

文献标识码 A

DOI 10.3969/j.issn.1673-548X.2015.03.024

**Relative Expressions of GRP78 and Mn - SOD in Radiotherapy of Nasopharyngeal Carcinoma.** Deng Xiangqun, Peng Bo. Department of Histology and Embryology, Shaoyang Medical College, Hunan 422000, China

**Abstract Objective** To study the expressions of GRP78 and Mn - SOD in the radiotherapy of nasopharyngeal carcinoma, as well as their significances. **Methods** Radiotherapies were taken in 60 cases of nasopharyngeal carcinoma from 2006. 1. 13 ~ 2006. 11. 26 in situ hybridization detections were carried out to detect the expression of GRP78 and Mn - SOD mRNA. **Results** In radiosensitivity and radioresistance of nasopharyngeal carcinoma, the moderately and strongly positive GRP78 mRNA expression rates were 20.00% and 47.50%, the moderately and strongly positive Mn - SOD mRNA expression rates were 55.00% and 40.00%, and the differences were statistical significance. In the radioresistance of nasopharyngeal carcinoma, GRP78 mRNA moderately and strongly positive expression was positively correlated with TNM stage. In the degree of Ⅲ ~ Ⅳ, it had moderately and strongly positive expression rate of 58.62%. In the degree of I ~ II, it had moderately and strongly positive expression rate of 18.18%, and it was also positively correlated with T stage. In the degree of T<sub>3</sub> ~ T<sub>4</sub>, it had moderately and strongly positive expression rate of 68.42%. In the degree of T<sub>1</sub> ~ T<sub>2</sub>, it had moderately and strongly positive expression rate of 28.57%. Mn - SOD mRNA moderately and strongly positive expression was positively correlated with T stage. In the degree of T<sub>3</sub> ~ T<sub>4</sub>, it had moderately and strongly positive expression rate of 63.16%. In the degree of T<sub>1</sub> ~ T<sub>2</sub>, it had moderately and strongly positive expression rate of 19.05%. In distant metastasis and no distant metastasis, the moderately and strongly positive GRP78 mRNA expression rates were 72.73% and 37.93%, the moderately and strongly positive Mn - SOD mRNA expression rates were 81.82% and 24.14%, and the differences had statistical significance. **Conclusion** GRP78 and Mn - SOD have participated in the development of radioresistant nasopharyngeal carcinoma.

**Key words** GRP78 gene; Mn - SOD gene; Radiotherapy; Nasopharyngeal carcinoma

由于解剖位置的关系,鼻咽癌常常采取放射治疗的方法,多数鼻咽癌对放射治疗敏感,研究对放射抗

拒的鼻咽癌具有重要意义。真核细胞中,内质网是分泌蛋白和膜蛋白加工的场所,蛋白经历了一系列翻译后修饰过程。葡萄糖调节蛋白 78 (glucose regulated protein78, GRP78) 作为一种内质网中的分子伴侣,在维持细胞的内环境稳态方面发挥重要作用。研究表明,GRP78 的表达抑制肿瘤细胞的凋亡并促进肿瘤的耐药、复发及转移<sup>[1,2]</sup>。也有研究发现,GRP78 仅

基金项目:湖南省科技厅科技计划项目(2011FJ4141)

作者单位:422000 湖南省邵阳医学高等专科学校组织学与胚胎学教研室(邓香群);421001 湖南衡阳市疾病预防控制中心职业危害因素控制科(彭波)

通讯作者:邓香群,电子信箱:hnsydxq@126.com

在某些肿瘤细胞的表面表达而在正常组织不表达<sup>[4]</sup>。20世纪70年代后期有研究者提出自由基致癌的观点,环境中各类毒物进入微生物体内后,会强烈影响微生物的生物转化,刺激微生物体内物质氧化还原产生大量氧自由基<sup>[4~6]</sup>。锰超氧化物歧化酶(manganese superoxide dismutase, Mn-SOD)存在于线粒体内,能将超氧阴离子( $O_2^-$ )转化为 $H_2O_2$ , $H_2O_2$ 在过氧化物酶和过氧化氢酶的作用下分解为水和氧,使细胞无毒化<sup>[7,8]</sup>。放射线辐射能刺激机体产生大量氧自由基,研究Mn-SOD及GRP78与鼻咽癌放疗敏感度之间的关系具有实际价值。

### 材料与方法

1. 临床资料:收集湖南省肿瘤医院2006年1月13日~11月26日第1次入院的鼻咽癌患者60例,以放射治疗为主,放疗联合化疗。经病理诊断,除2例为中分化鳞癌外,其余均为低分化鳞癌。所有病例都有3年或3年以上随访记录,其中放疗抗拒40例: $T_2N_1M_0$ Ⅱ期9例, $T_3N_0M_0$ Ⅱ期2例, $T_2N_2M_0$ Ⅲ期12例, $T_3N_1M_0$ Ⅲ期4例, $T_3N_2M_0$ Ⅲ期6例, $T_3N_3M_0$ Ⅲ期5例, $T_4N_1M_1$ Ⅳ期1例, $T_4N_2M_1$ Ⅳ期1例,入院时2例无淋巴结转移者( $N_0$ ),治疗后也出现颈淋巴结转移,入院时TNM分期中有2例远处转移( $M_1$ ),另有9例在治疗过程中出现远处转移,转移部位为骨、肝脏、肺、甲状腺;放疗敏感20例: $T_2N_0M_0$ Ⅱ期1例, $T_2N_1M_0$ Ⅱ期3例, $T_2N_2M_0$ Ⅲ期7例, $T_3N_2M_0$ Ⅲ期6例, $T_3N_3M_0$ Ⅲ期2例, $T_2N_3M_1$ Ⅳ期1例。放疗抗拒者均伴有颈淋巴结转移。放疗抗拒标准:根治性放疗后3个月复查原发灶和(或)淋巴结残留;1年内出现鼻咽新事物和(或)新发淋巴结;13~24个月出现复发。诊断依据:①临床症状+体征;②鼻咽+颈部MRI或CT(平扫+增强);③复发病理诊断。放疗敏感标准:①根治性放疗后3个月复查原发灶和(或)淋巴结无残留;1年内未出现鼻咽新事物和(或)新发淋巴结;13~24个月未出现复发或转移;②随访3年或3年以上,无复发转移者。诊断依据:①临床症状+体征;②鼻咽+颈部MRI或CT(平扫+增强)。

2. 主要试剂:探针及试剂盒均购自天津灏洋生物公司,GRP78探针合成序列:(1)5'-TCTTGAAACAGGCCAGCGAGTAG-3'。(2)5'-CAGGAGTGAAGGCAGATAGGACGGC-3'。(3)5'-GACACCTCCACAGTTCAATACCAAG-3'。(4)5'-GTCTTCCTCAGCAAACCTCTCAGCATC-3'。试剂:①寡核苷酸探针预杂交液;②寡核苷酸探针杂交液GRP78;寡核苷酸阴性探针杂交液GRP78;③复合消化液(P/E)pH值为6.4;④生物素标记的小鼠抗地高辛;⑤高敏过氧化物酶链亲和素复合物;⑥2xssc干粉。Mn-SOD探针合成序列:①5'-TAGTCGTAGGGCAGGTGGGGAGGCT-3';②5'-AACGCCCTCGGTACTTCTCGGTG-3';③5'-TGAAACCAAGCCAACCCCCAACCTGAGC-3';试剂:寡核苷酸探针杂交液Mn-SOD,寡核苷酸阴性探针杂交液Mn-SOD,其余试剂

同GRP78。

3. 原位杂交检测:采用GRP78多点标记DIG(地高辛)探针原位杂交法及Mn-SOD多点标记DIG(地高辛)探针原位杂交法。

4. 结果判定标准:显微镜下观察,细胞质显黄棕色为GRP78 mRNA及Mn-SOD mRNA阳性反应。按阳性细胞所占比例记录:着色细胞比例<25%为1分,25%~50%为2分,51%~75%为3分,>75%为4分。着色深度:无着色0分,浅黄色1分,棕黄色2分,棕褐色3分。根据两者相乘的积综合判断,0分为阴性(-),1~4分为弱阳性(+),5~8分为中度阳性(++)9~12分为强阳性(+++)

5. 统计学方法:采用SPSS 18.0统计软件,计数资料比较采用 $\chi^2$ 检验;TNM分期与GRP78 mRNA中度和强阳性表达率、T分期与GRP78 mRNA中度和强阳性表达率、T分期与Mn-SOD mRNA中度和强阳性表达率之间关联性采用 $\phi$ 系数进行分析。以 $P < 0.05$ 为差异有统计学意义。

### 结 果

1. GRP78 mRNA在放射治疗鼻咽癌中的表达:放疗抗拒及放疗敏感鼻咽癌中,GRP78 mRNA中度及强阳性表达率分别为47.50%和20.00%(表1)。

表1 GRP78在放射治疗鼻咽癌中的表达

放疗效果	GRP78 mRNA				百分率(%)*
	n	-	+	++ 和 +++	
放疗抗拒	40	4	17	19	47.50
放疗敏感	20	2	14	4	20.00

\* 为++和+++合计的百分率; $\chi^2 = 4.047, P = 0.044$

2. Mn-SOD mRNA在放射治疗鼻咽癌中的表达:放疗抗拒及放疗敏感鼻咽癌中,Mn-SOD mRNA中度及强阳性表达率分别为40.00%和55.00%(表2)。

表2 Mn-SOD在放射治疗鼻咽癌中的表达

放疗效果	Mn-SOD mRNA				百分率(%)*
	n	-	+	++ 和 +++	
放疗抗拒	40	5	19	16	40.00
放疗敏感	20	2	7	11	55.00

\* 为++和+++合计的百分率; $\chi^2 = 22.727, P < 0.005$

3. GRP78 mRNA在放疗抗拒鼻咽癌中的表达:阳性表达定位于细胞质,呈黄-棕色(图1、图2)。GRP78 mRNA中度和强阳性表达率与TNM分期存在着关联性( $\chi^2 = 5.230, P = 0.022$ ),关联强度为0.362;GRP78 mRNA中度和强阳性表达率与T分期也存在着关联性( $\chi^2 = 6.352, P = 0.012$ ),关联强度为0.398。有远处转移与无远处转移中,差异有统计

学意义 ( $\chi^2 = 3.872, P = 0.049$ , 表 3)。

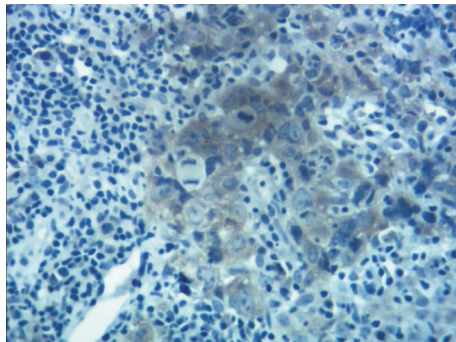


图 1  $T_2N_1M_0$  II 期低分化鳞癌 GRP78 中度阳性  
(苏木精染色,  $\times 400$ )

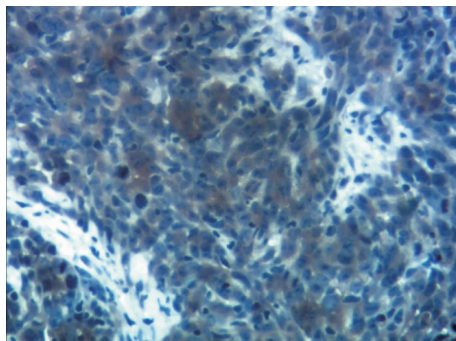


图 2  $T_2N_2M_0$  III 期低分化鳞癌 GRP78 强阳性  
(苏木精染色,  $\times 400$ )

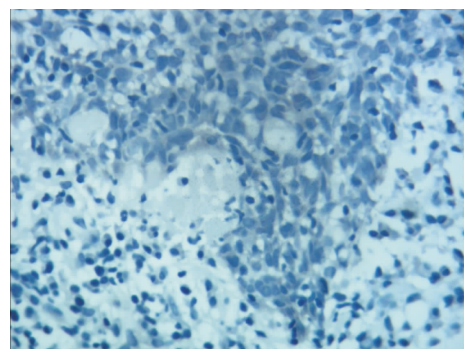


图 3  $T_2N_1M_0$  II 期低分化鳞癌 Mn - SOD 弱阳性  
(苏木精染色,  $\times 400$ )

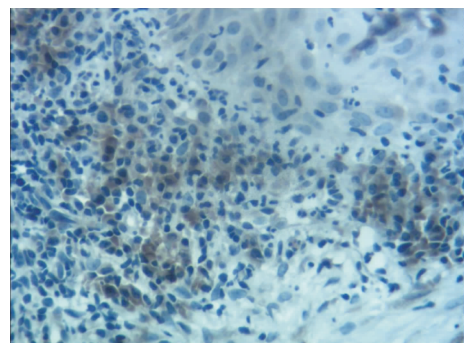


图 4  $T_3N_1M_0$  III 期低分化鳞癌 Mn - SOD 中度阳性  
(苏木精染色,  $\times 400$ )

表 3 GRP78 与放疗抗拒鼻咽癌临床病理参数的关系

病理参数	GRP78 mRNA					百分率(%) <sup>*</sup>
	n	-	+	++ 和 +++	+++	
TNM 分期						
I ~ II 期	11	1	8	2		18.18
III ~ IV 期	29	3	9	17		58.62
T 分期						
$T_1 \sim T_2$	21	3	12	6		28.57
$T_3 \sim T_4$	19	1	5	13		68.42
远处转移						
有	11	1	2	8		72.73
无	29	3	15	11		37.93

\* 为 ++ 和 +++ 合计的百分率。TNM 分期 (I ~ II 期和 III ~ IV 期):  $\chi^2 = 5.230, P = 0.022$ ; T 分期 ( $T_1 \sim T_2$  和  $T_3 \sim T_4$ ):  $\chi^2 = 6.352, P = 0.012$ ; 远处转移:  $\chi^2 = 3.872, P = 0.049$

4. Mn - SOD mRNA 在放疗抗拒鼻咽癌中的表达: 阳性表达定位于细胞质, 呈黄 - 棕色 (图 3、图 4)。Mn - SOD mRNA 中度和强阳性表达率与 T 分期有关联性 ( $\chi^2 = 8.087, P = 0.005$ ), 关联强度为 0.4496。有远处转移与无远处转移中, 差异有统计学意义 ( $\chi^2 = 8.783, P = 0.003$ , 表 4)。

表 4 Mn - SOD 与放疗抗拒鼻咽癌临床病理参数的关系

病理参数	Mn - SOD mRNA					百分率(%) <sup>*</sup>
	n	-	+	++ 和 +++	+++	
TNM 分期						
I ~ II 期	11	1	7		3	27.27
III ~ IV 期	29	4	12		13	44.83
T 分期						
$T_1 \sim T_2$	21	4	13		4	19.05
$T_3 \sim T_4$	19	1	6		12	63.16
远处转移						
有	11	0	2		9	81.82
无	29	5	17		7	24.14

\* 为 ++ 和 +++ 合计的百分率。TNM 分期 (I ~ II 期和 III ~ IV 期):  $\chi^2 = 0.423, P = 0.515$ 。T 分期 ( $T_1 \sim T_2$  和  $T_3 \sim T_4$ ):  $\chi^2 = 8.087, P = 0.005$ ; 远处转移:  $\chi^2 = 8.783, P = 0.003$

## 讨 论

GRP78 也称免疫球蛋白重链结合蛋白 (the immunoglobulin heavy chain binding protein, BiP), 参与蛋白质合成时新生肽链的折叠, 行使分子伴侣的功能, 内质网腔中未折叠和错误折叠蛋白质的积聚可诱导其表达, 从而协助蛋白质的正确折叠和装配。除了辅助蛋白质正确折叠, GRP78 在蛋白质合成的多个

环节发挥作用。GRP78 表达增高有助于肿瘤细胞逃避免疫监视, 提高肿瘤细胞抗凋亡和耐受各种治疗的能力。GRP78 亦可做为某些肿瘤细胞膜的受体, 参与肿瘤的发生、增殖和转移等相关信号通路。GRP78 的启动子区包含一个增强子, 能被肿瘤微环境(如低氧、缺氧、酸中毒等)的改变而诱导, 靶向作用于肿瘤的转录过程。缺氧区的肿瘤细胞 DNA 损伤位点不固定, 致使肿瘤细胞对放疗具有抵抗性。在缺氧的条件下, 肿瘤细胞被选择, 一些发生凋亡, 那些适应应激的向更恶性的方向发展并发生转移。研究发现, 放射线辐射及重金属复合物形式等肿瘤治疗手段可诱导 GRP78 的表达, GRP78 对肿瘤患者预后的预测作用受患者个体差异和组织差异的影响<sup>[7,8]</sup>。

自由基可导致螺旋结构的 DNA 发生链断裂, 使染色体发生各种畸变。染色体畸变是辐射导致的主要损伤效应之一, Mn - SOD 是体内活性氧自由基有效清除剂, 可以降低辐射导致的损伤效应<sup>[9]</sup>。Mn - SOD 的活性与表达量的变化可引起某些肿瘤性疾病, 主要与其抗氧化作用减弱有关<sup>[10]</sup>。放疗过程中, NF - κB 通路被放疗诱导的活性氧激活, 激活的 NF - κB 可以增加 Mn - SOD 对肿瘤细胞的保护作用<sup>[11]</sup>。微生物体内 Mn - SOD 含量间接反映了环境中有毒有害物质的存在及其作用<sup>[12]</sup>。研究发现, 不同组织中 Mn - SOD 激活阈值不同<sup>[13]</sup>。

本实验中, 放疗抗拒及放疗敏感鼻咽癌患者中, GRP78 mRNA 中度阳性和强阳性表达率以及 Mn - SOD mRNA 中度阳性和强阳性表达率差异有统计学意义。抑制 GRP78 的表达可能增强对放射线的敏感度, GRP78 参与了放疗抗拒鼻咽癌的发生; 对放射线敏感的鼻咽癌细胞中 Mn - SOD 过表达。放疗抗拒鼻咽癌中, GRP78 mRNA 中度阳性和强阳性表达率与 TNM 分期呈正相关, I ~ II 期与 III ~ IV 期中表达率差异有统计学意义( $P < 0.05$ ); GRP78 mRNA 中度阳性和强阳性表达率与 T 分期呈正相关, 随着 T 分期的增加表达递增; 有远处转移及无远处转移中, GRP78 mRNA 中度阳性和强阳性表达率差异有统计学意义( $P < 0.05$ )。放疗抗拒鼻咽癌细胞中内质网功能活跃, GRP78 作为内质网应激中的关键蛋白, GRP78 表达增强<sup>[14]</sup>。

放疗抗拒鼻咽癌中, TNM 分期 I ~ II 期及 III ~ IV 期中, Mn - SOD mRNA 中度阳性和强阳性表达率差异无统计学意义( $P > 0.05$ ); 40 例放疗抗拒的鼻咽

癌患者均有颈淋巴结转移, 可能颈淋巴结转移在其中占主导因素。有研究发现, 前列腺癌细胞表达 Mn - SOD, 参与前列腺放疗抵抗性的产生<sup>[2]</sup>。T<sub>3</sub> ~ T<sub>4</sub> 期及 T<sub>1</sub> ~ T<sub>2</sub> 期中, Mn - SOD mRNA 中度阳性和强阳性表达率差异有统计学意义; 有远处转移中的表达率高于无远处转移者。鉴于此, 放疗抗拒鼻咽癌细胞中线粒体代谢活动增加, Mn - SOD 表达增高。

在放疗抗拒的鼻咽癌患者中, 放射线的照射能使 DNA 发生损伤, 导致细胞在分子水平发生变化, 内质网蛋白质合成能力上调, GRP78 过表达, GRP78 参与了放疗抗拒鼻咽癌的发展; 放疗中产生的氧自由基激活了 NF - κB 通路, 同时线粒体功能活跃, 线粒体内的 Mn - SOD 过表达及功能活动增加, Mn - SOD 抗氧化能力增强, 可有效清除氧自由基, 保护肿瘤细胞免受氧化损伤。放疗抗拒鼻咽癌细胞中线粒体的功能活动更活跃, Mn - SOD 的功能受细胞类型的影响, 放疗抗拒鼻咽癌细胞 Mn - SOD 激活阈值低。基于此, 笔者认为 GRP78、Mn - SOD 参与了放疗抗拒鼻咽癌的发展。

#### 参考文献

- 1 邓康利, 王志华, 胡志全, 等. GRP78 在肿瘤治疗与预后中的作用 [J]. 现代泌尿生殖肿瘤杂志, 2011, 3(2): 117 ~ 119
- 2 Lee E, Nichols P, Groshen S, et al. GRP78 as potential predictor for breast cancer response to adjuvant taxane therapy [J]. International Journal of Cancer, 2011, 128(3): 726 ~ 731
- 3 Kim Y, Lillo AM, Steiniger SC, et al. Targeting heat shock proteins on cancer cells: selection, characterization, and cell - penetrating properties of a peptidic GRP78 ligand [J]. Biochemistry, 2006, 45: 9434 ~ 9444
- 4 孔彦平, 张静, 肖睿娟, 等. AFP 调控的携带 Mn - SOD 基因的腺病毒对肝癌细胞的杀伤作用 [J]. 浙江理工大学学报, 2011, 28(5): 804 ~ 808
- 5 Zhang C, Zhang M, Wang S, et al. Interactions between gut microbiota, host genetics and diet relevant to development of metabolic syndromes in mice [J]. ISME J, 2010, 4(2): 232 ~ 241
- 6 Cani PD, Amar J, Iglesias MA, et al. Metabolic endotoxemia initiates obesity and insulin resistance [J]. Diabetes, 2007, 56(7): 1761 ~ 1772
- 7 吴雄辉, 孙虹. 超氧化物歧化酶与氧化应激相关内耳疾病的研究进展 [J]. 现代生物医学进展, 2010, 15: 2982 ~ 2985
- 8 孙国贵, 胡万宁, 王雅棣, 等. MnSOD 表达特性与食管癌细胞放射敏感性的关系 [J]. 癌变. 畸变. 突变, 2012, 24(2): 100 ~ 107
- 9 张佳更, 范雪云, 金玉兰, 等. Mn - SOD 基因多态性与放射人员染色体损伤易感性研究 [J]. 工业卫生与职业病, 2012, 38(2): 95 ~ 98

(下转第 100 页)

同,造影增强模式有所不同,在鉴别诊断结节良、恶性中起一定的作用。单纯甲状腺恶性结节的超声造影增强模式报道多为不均匀增强、低增强<sup>[11,12]</sup>。尚旭等<sup>[13]</sup>提出桥本甲状腺炎合并恶性结节超声造影模式表现为弱增强。本组 CLT 合并 62 个甲状腺恶性结节中 82% (51/62) 表现为不均匀增强,84% (52/62) 表现为低增强。与单纯甲状腺恶性结节的超声造影模式几乎一致。恶性结节由于其生物学行为表现为浸润生长及破坏周边组织,正常血供受到破坏,新生血供分化差、分布不均衡或微血管建立不完全,以及结节内部钙化、坏死或纤维化等原因,与周边甲状腺组织相比较表现为缺乏血供,因此超声造影模式表现为不均匀增强及低增强。良性组 46 个实性结节多表现为均匀增强、等或高增强。良性结节可能为被纤维组织分割成结节的实质甲状腺组织,由于大量淋巴细胞浸润,超声图像出现边界清或不清的低回声结节样改变,但组织病理学上与周边甲状腺组织无明显差异。良性结节的生物学行为表现为膨胀性生长,结节的血供受到压迫但没有破坏,因此结节与周边甲状腺组织呈均匀增强、等增强。

本研究结果显示,上述超声影像特征单独用于鉴别诊断结节良恶性的价值并不大,其中价值最大的超声特征是增强均匀度,ROC 曲线下面积为 0.813。而联合上述 7 项特征用于鉴别诊断结节良恶性的价值明显增大,ROC 曲线下面积为 0.944,敏感度为 87.1%,特异性为 84.8%,准确度为 86.1%,为 CLT 合并甲状腺癌手术提供重要依据。本组病例均为外科手术病理证实合并 CLT 的患者,存在选择性偏倚,而且回顾性分析本身存在不足,此外图像分析存在主观性,因此本研究结果的推广应用还需进一步扩大样本研究证实。

(上接第 88 页)

- 10 崔勇,何亚,武谨,等. Mn-SOD 在螺旋神经节区域分布差异与噪声性听力损伤的关系[J]. 中华耳科学杂志,2013,11(1):107-111
- 11 朱斌,杨罗艳,赵晓昆,等. RNA 干扰 RelB 基因对小鼠 RM-1 前列腺癌细胞株放射敏感性的影响及其机制[J]. 中华男科学杂志,2012,18(7):595-599
- 12 邵海刚,候亚文,张莹,等. 温度对大肠埃希菌 Mn-SOD 基因启动子调控条件的优化[J]. 中国微生态学杂志,2012,24(10):886-

## 参考文献

- 1 魏松峰,高明. 桥本甲状腺炎并发甲状腺乳头状瘤 40 例临床分析[J]. 中国实用外科杂志,2006,26(11):862-863
- 2 胡晓松,董世霞. 弥漫型桥本氏甲状腺炎合并结节的良恶性超声诊断探讨[J]. 中国医疗设备,2012,27(6):159-160
- 3 Moon WJ, Jung SL, Lee JH, et al. Benign and malignant thyroid nodules: US differentiation - multicenter retrospective study 1 [J]. Radiology, 2008, 247(3): 762-770
- 4 王建红,王正滨,房世保,等. 桥本甲状腺炎合并多灶性甲状腺乳头状瘤的超声诊断价值[J]. 中华医学超声杂志,2013,10(7):596-598
- 5 杨筱,张波,姜玉新,等. 桥本甲状腺炎背景下甲状腺结节的超声诊断[J]. 中国医学科学院学报,36(3):261-266
- 6 Anderson L, Middleton WD, Teefey SA, et al. Hashimoto thyroiditis: Part 2, sonographic analysis of benign and malignant nodules in patients with diffuse Hashimoto thyroiditis [J]. American Journal of Roentgenology, 2010, 195(1): 216-222
- 7 Ohmori N, Miyakawa M, Ohmori K, et al. Ultrasonographic findings of papillary thyroid carcinoma with Hashimoto's thyroiditis[J]. Internal Medicine (Tokyo, Japan), 2006, 46(9): 547-550
- 8 龙官保,张春霞,郑建伟,等. 钙化灶在桥本甲状腺炎合并甲状腺癌诊断中价值研究[J]. 中国实用外科杂志,2013,33(8):698-700
- 9 Kim SS, Lee BJ, Lee JC, et al. Coexistence of Hashimoto's thyroiditis with papillary thyroid carcinoma: the influence of lymph node metastasis[J]. Head & Neck, 2011, 33(9): 1272-1277
- 10 彭娟,王丹,袁惠. 慢性淋巴细胞性甲状腺炎合并甲状腺恶性肿瘤的超声诊断[J]. 中国临床医学影像杂志,2012,23(2):111-113
- 11 周琦,姜珏,杜晓鹏,等. 超声造影在甲状腺乳头状瘤中的诊断价值[J]. 中国超声医学杂志,2011,27(7):595-597
- 12 Zheng XJ, Zhang YK, Zhao CY, et al. Enhancement pattern of thyroid carcinoma with contrast-enhanced ultrasound[J]. Zhonghua Yi Xue Za Zhi, 2010, 90(1): 42-45
- 13 尚旭,周琦,姜珏,等. 超声造影对桥本甲状腺炎背景下良恶性结节鉴别诊断价值研究[J]. 中华超声影像学杂志,2013,22(3):222-225

(收稿日期:2014-08-25)

(修回日期:2014-09-17)

892

- 13 梁静,聂晶,谢少贤,等. 中国汉族人群 Mn-SOD 基因 V(16)A 多态性与运动能力的关联研究[J]. 北京体育大学学报,2013,36(7):62-66
- 14 Sou SN, Ilieva KM, Polizzi KM. Binding of human BiP to the ER stress transducers IRE1 and PEPK requires ATP[J]. Biochem Biophys Res Commun, 2012, 420(2):473-478

(收稿日期:2014-07-21)

(修回日期:2014-09-09)